# **——** КООРДИНАЦИОННЫЕ СОЕДИНЕНИЯ **——**

УЛК 547.947.733

# СИНТЕЗ И СПЕКТРАЛЬНЫЕ СВОЙСТВА ГАЛОГЕНЗАМЕЩЕННЫХ Cu(II)-ТЕТРАФЕНИЛПОРФИРИНОВ

© 2024 г. С. В. Звездина<sup>a</sup>, Н. В. Чижова<sup>a</sup>, Н. Ж. Мамардашвили<sup>a, \*</sup>

<sup>а</sup> Институт химии растворов им. Г.А. Крестова РАН, ул. Академическая, 1, Иваново, 153040 Россия \*e-mail: zyezdina75@mail.ru

Поступила в редакцию 15.03.2024 г. После доработки 24.05.2024 г. Принята к публикации 24.06.2024 г.

Проведено исчерпывающее галогенирование β-положений Cu(II)-5,10,15,20-тетра(2,6-дифторфенил)порфирина с использованием N-бромсукцинимида и N-хлорсукцинимида в диметилформамиде. При взаимодействии Cu(II)-5,10,15,20-тетра(2,3,4,5,6-пентафторфенил)порфирина с N-хлорсукцинимидом в диметилформамиде синтезирован Cu(II)-β-октахлор(2,3,4,5,6-пентафторфенил)порфирин. С помощью реакции комплексообразования β-октабром-5,10,15,20-тетра(2,6-дифторфенил)порфирина, β-октахлор-5,10,15,20-тетра(2,6-дифторфенил)порфирина с солями меди в диметилформамиде в мягких условиях получены соответствующие комплексы меди(II). Изучена кинетика координации β-октабром-5,10,15,20-тетра(2,6-дифторфенил)порфирина с хлоридом меди в диметилформамиде. Рассчитаны кинетические параметры реакции. Синтезированные соединения идентифицированы методами электронной абсорбционной, <sup>1</sup>H ЯМР-спектроскопии, масс-спектрометрии, элементного анализа. Для ряда комплексов меди приведены рентгеновские дифрактограммы.

*Ключевые слова*: реакции бромирования, хлорирования, комплексообразования,  $\beta$ - и *мезо*-галогензамещенные порфирины и их комплексы с Cu(II), спектральные характеристики

**DOI:** 10.31857/S0044457X24110064, **EDN**: JLYPFV

# ВВЕДЕНИЕ

Порфирины и их комплексы с различными металлами играют важную роль в природе. Они входят в состав гемоглобина, миоглобина, хлоропластов, цитохромов и других жизненно важных молекул. Существенная роль, отводимая природой металлопорфиринам, обусловлена их уникальными физико-химическими свойствами. Многообразие структур комплексов порфиринов с различными металлами открывает широкие возможности для их применения в различных областях науки и техники [1—4].

Интерес к синтезу и исследованию комплексов порфиринов с медью вызван возможностью их применения в биомедицине и катализе. В настоящее время широко изучаются и применяются в качестве пищевых красителей и в косметологии комплексы хлорофилла с Cu(II) (пищевая добавка E-141) [5]. Потенциальные области применения производного хлорофилла с ме-

дью - это лечение злокачественных новообразований, кроветворной системы, органов дыхания, использование в качестве фотосенсибилизаторов. Синтезированы и исследованы комплексы меди на основе хлоринов как потенциальные фотосенсибилизаторы медицинского назначения [6]. В работе [7] изучены радиосенсибилизаторы на основе комплексов меди с β-нитро- и галогензамещенными тетрафенилпорфиринами. Показано, что первый восстановительный потенциал ( $E_{1/2}$ ) полученных соединений возрастает от комплекса меди с тетрафенилпорфирином (1.2 Вт) к его β-октабромзамещенному производному (0.59 Вт). Фталоцианинаты меди(II) применяют в качестве катализаторов разложения органических загрязнителей с различными источниками кислорода [8], катализаторов клик-реакций в мягких условиях [9]. Для фотоиндуцированной генерации активных форм кислорода могут быть использованы комплексы меди в водном растворе [10]. Широко известны красители на основе комплексов меди с фталоцианинами и порфиринами [11].

Исчерпывающее бромирование β-положений Cu(II)-тетрафенилпорфирина молекулярным бромом в смеси хлороформ-четыреххлористый углерод-пиридин описано в работе [12]. При взаимодействии Cu(II)-тетрафенилпорфирина с избытком N-бромсукцинимида (NBS) в среде хлороформ-диметилфомамид также обβ-октабромзамещенный разуется комплекс Cu(II)-тетра(4меди [13]. Бромирование хлорфенил)порфирина молекулярным бромом в смеси CHCl<sub>3</sub>-CCl<sub>4</sub> приводит к обрасоответствующего в-октабром-зазованию мещенного производного [14]. В работе [15] проведено бромирование Cu(II)-тетра(2,6дихлорфенил)порфирина молекулярным бромом в хлороформе при комнатной температуре. Авторы [16, 17] использовали тионилхлорид для синтеза хлорзамещенных металлопорфиринов. Исчерпывающее хлорирование β-положений Ni(II)-тетрафенилпорфирина осуществлено с помощью N-хлорсукцинимида (NCS) в кипящем орто-дихлорбензоле [18].

Галогенирование β-положений 2,6-дихлорзамещенного Zn(II)-тетрафенилпорфирина с использованием NBS и NCS в кипящей суспензии метанола описано в работе [19]. Увеличить выход и сократить время образования галогензамещенных комплексов цинка удалось при замене метанола на бинарные растворители хлороформ—метанол и хлороформ—бутанол [20]. Ранее [21, 22] было показано, что выход β- и мезо-замещенных комплексов цинка и никеля существенно возрастает при проведении реакции галогенирования в диметилформамиде (ДМФА) при комнатной температуре.

Химическая модификация порфиринового макроцикла приводит к значительному изменению его физико-химических свойств [23, 24], что позволяет создавать новые полифункциональные материалы. Металлопорфирины с неравномерным распределением электронной плотности или электронным дефицитом в пределах макроцикла представляют интерес при создании материалов, проявляющих нелинейно-оптические, каталитические и электрохимические свойства [25, 26].

С целью разработки эффективных методов синтеза β- и мезо-замещенных комплек-

сов меди(II) в работе исследованы реакции Си(II)-5.10.15.20-тетра(2.6галогенирования  $(CuTPPF_{\aleph})$ дифторфенил)порфирина Си(II)-5,10,15,20-тетра(2,3,4,5,6-пентафторфенил)порфирина (CuTPPF<sub>20</sub>) (2) с помощью Nбромсукцинимида и N-хлорсукцинимида в диметилформамиде и реакции комплексообразования β-октабром-5,10,15,20-тетра(2,6-дифторфенил)порфирина ( $H_2$ TPPB $r_8$  $F_8$ ) (3),  $\beta$ -октахлор-5,10,15,20-тетра-(2,6-дифторфенил)порфирина (4) и β-октахлор-5,10,15,20- $(H_2TPPCl_8F_8)$ тетра(2,3,4,5,6-пентафторфенил)порфирина  $(H_2TPPCl_8F_{20})$  (5) с солями меди в ДМФА (DMF) (cxema 1).

#### ЭКСПЕРИМЕНТАЛЬНАЯ ЧАСТЬ

5,10,15,20-Тетра(2,6-дифторфенил)порфирин, 5,10,15,20-тетра-(2,3,4,5,6-пентафторфенил) порфирин (Porphychem), N-бромсукцинимид, N-хлорсукцинимид, ацетат и хлорид меди (Acros), оксид алюминия (Merck), CDCl<sub>3</sub> (Aldrich) и растворители (х. ч.) использовали без дополнительной обработки. Электронные спектры поглощения записывали на спектрофотометре Cary-100 (Varian). Спектры ЯМР <sup>1</sup>Н (500 МГц, CDCl<sub>3</sub>) получали на приборе Bruker AV III-500 (внутренний стандарт — ТМС). Массспектры регистрировали на масс-спектрометре Maldi ToF Shimadzu Biotech Axima Confidence (матрица – дигидроксибензойная кислота). Элементный анализ проводили на СНОанализаторе Flash EA 1112. Дифрактограммы Cu(II)-5,10,15,20-тетра(2,6-дифторфенил)порфирина, Си(II)-5,10,15,20-тетра(2,3,4,5,6-пентафторфенил)порфирина и Cu(II)-β-октахлор-5,10,15,20-тетра(2,6-дифторфенил)порфирина записывали на рентгеновском дифрактометре D2 Phaser. Изучение реакции комплексообразования β-октабром-5,10,15,20-тетра(2,6дифторфенил)порфирина с хлоридом меди в ДМФА (Panreac) проводили спектрофотометрическим методом (Cary 100). В термостатируемую кювету спектрофотометра помещали раствор исследуемого галогензамещенного рина ( $C_{\rm H_2TPPBr_8F_8}=5\times 10^{-5}$  моль/л) и соли ( $C_{\rm CuCl_2}=1.25\times 10^{-3}$  моль/л). После термостатирования (~5 мин) растворы сливали, измерения проводили на длине волны, соответствующей максимуму полосы поглощения образующегося комплекса меди. Кинетические параметры реак-

$$R^{2} = R^{1}$$

$$R^{1} = R^{2}$$

$$R^{1} = R^{2} = H \text{ (CuTPPF}_{8}) \text{ (1)}$$

$$R^{1} = R^{2} = F \text{ (CuTPPF}_{20}) \text{ (2)}$$

$$R^{2} = R^{2}$$

$$R^{1} = R^{2} = R^{2}$$

$$R^{2} = R^{2}$$

$$R^{2} = R^{2}$$

$$R^{2} = R^{2}$$

$$R^{3} = R^{3}$$

$$R^{3} = R^{3}$$

$$R^{4} = R^{2}$$

$$R^{2} = R^{2}$$

$$R^{1} = R^{2} = H, R^{3} = Br (H_{2}TPPBr_{8}F_{8}) \text{ (3)}$$

$$R^{1} = F, R^{2} = H, R^{3} = Cl (H_{2}TPPCl_{8}F_{8}) \text{ (4)}$$

$$R^{1} = F, R^{2} = H, R^{3} = Br (CuTPPBr_{8}F_{8})$$
 (6)  
 $R^{1} = F, R^{2} = H, R^{3} = Cl (CuTPPCl_{8}F_{8})$  (7)  
 $R^{1} = R^{2} = F, R^{3} = Cl (CuTPPCl_{8}F_{20})$  (8)

Схема 1.

ции комплексообразования  $\beta$ -бромзамещенного порфирина **3** с CuCl<sub>2</sub> в ДМФА рассчитывали по методике, приведенной в работе [27].

 $R^1 = R^2 = F$ ,  $R^3 = C1 (H_2 TPPCl_8 F_{20})$  (5)

Cu(II)-5,10,15,20-тетра(2,6-дифторфенил)порфирин ( $CuTPPF_8$ ) (1). Смесь 0.02 г (0.0264 ммоль) тетра(2,6-дифторфенил)порфирина и 0.048 г (0.264 ммоль)  $Cu(OAc)_2$  в 10 мл ДМФА нагревали до температуры кипения и кипятили в течение 1 мин. Реакционную смесь охлаждали, выливали в 50 мл воды, добавляли 2 г  $NaCl_{TB}$ , выпавший осадок отфильтровывали, промывали водой, сушили, хроматографировали на оксиде алюминия хлороформом. Выход 0.018 г (0.0219 ммоль, 85%). Спектр ЯМР  $^1$ H ( $CDCl_3$ ,  $\delta$ , м.д.): 7.71 уш.

с (8H, пиррол), 7.16 уш. с (12H,  $Ph^{M,\Pi}$ ). Массспектр, m/z ( $I_{OTH}$ , %) = 820.00 (97)  $[M]^+$ . Для  $C_{44}H_{20}F_8N_4Cu$  вычислено 820.21.

Найдено, %: С 63.96; Н 2.38; N 6.57.

Для  $C_{44}H_{20}F_8N_4Cu$  рассчитано, %: С 64.43; H 2.46; N 6.83.

Cu(II)-5,10,15,20-тетра(2,3,4,5,6-пентафторфенил)порфирин ( $CuTPPF_{20}$ ) (2). Смешивали 0.02 г (0.0205 ммоль) тетра(2,3,4,5,6-пентафторфенил)порфирина и 0.037 г (0.205 ммоль) Cu(OAc)2 в 15 мл ДМФА. Время реакции составляло 30 с. Обрабатывали аналогично соединению 1. Выход составил 0.018 г (0.0174 ммоль,

85%). Масс-спектр, m/z ( $I_{\text{отн}}$ , %) = 1036.02 (76) [M]<sup>+</sup>. Для С<sub>44</sub>H<sub>8</sub>F<sub>20</sub>N<sub>4</sub>Cu вычислено 1036.10.

Найдено, %: C 50.53; H 0.74; N 5.27.

Для  $C_{44}H_8F_{20}N_4Cu$  рассчитано, %: С 51.01; H 0.78; N 5.41.

Галогензамещенные порфирины синтезировали по методикам, приведенным в работе [19].

**β-Октабром-5,10,15,20-тетра(2,6-дифторфенил)порфирин** (H<sub>2</sub>TPPBr<sub>8</sub>F<sub>8</sub>) (3). ЭСП (СНСІ<sub>3</sub>,  $\lambda$ , нм, (Igε)): 715 (3.58), 642 (3.84), 602 (3.94), 557 (4.23), 459 (5.20), 372 (4.48). Масс-спектр, m/z ( $I_{\text{отн}}$ , %) = 1392.12 (96) [M + 2H]<sup>+</sup>. Для С<sub>44</sub>H<sub>14</sub>Br<sub>8</sub>F<sub>8</sub>N<sub>4</sub> вычислено 1389.91. Спектр ЯМР <sup>1</sup>H (CDCl<sub>3</sub>,  $\delta$ , м.д.): 8.06 т (4H, Ph<sup>п</sup>), 7.54 д (8H, Ph<sup>м</sup>), 0.39 с (2H, NH-протоны).

**β-Октахлор-5,10,15,20-тетра(2,6-дифторфенил)порфирин** (H<sub>2</sub>TPPCl<sub>8</sub>F<sub>8</sub>) (4). ЭСП (CHCl<sub>3</sub>,  $\lambda$ , нм (lgε)): 629 (4.02). 587 (4.11), 539 (4.30), 442 (5.18). Спектр ЯМР <sup>1</sup>Н (CDCl<sub>3</sub>,  $\delta$ , м.д.): 7.57 т (4H, Ph<sup>п</sup>), 7.09 д (8H, Ph<sup>м</sup>), -2.24 с (2H, NНпротоны). Масс-спектр, m/z ( $I_{\rm OTH}$ , %) = 1035.52 (98) [M + H]<sup>+</sup>. Для С<sub>44</sub>Н<sub>14</sub>Cl<sub>8</sub>F<sub>8</sub>N<sub>4</sub> вычислено 1034.30.

**β-Октахлор-5,10,15,20-тетра (2,3,4,5,6-пента-фторфенил)порфирин** ( $H_2$ TPPC $I_8$  $F_{20}$ ) (5). ЭСП (CHC $I_3$ ,  $\lambda$ , нм ( $Ig\epsilon$ ): 626 (3.89), 581 (3.90), 539 (4.29), 439 (5.27). Спектр ЯМР  $^1$ Н (CDC $I_3$ ,  $\delta$ , м.д.)): -2.13 с (2H, NH-протоны). Масс-спектр, m/z ( $I_{\rm OTH}$ , %) = 1251.7 (96) [M + 2H] $^+$ . Для С $_{44}$ H $_2$ C $I_8$ F $_{20}$ N $_4$  вычислено 1250.1.

Cu(II)- $\beta$ -октабром-5,10,15,20-тетра(2,6-дифторфенил)порфирин ( $CuTPPBr_8F_8$ ) (6а). К 0.02 г (0.0244 ммоль) комплекса 1 в 5 мл ДМФА добавляли 0.174 г (0.975 ммоль) NBS и выдерживали при комнатной температуре в течение 2 сут. Реакционную смесь высаживали в 40 мл воды, добавляли 2 г  $NaCl_{TB}$ , выпавший осадок отфильтровывали, промывали водой, высушивали, хроматографировали на оксиде алюминия хлороформом. Выход составил 0.025 г (0.0172 ммоль, 72%). Масс-спектр, m/z ( $I_{OTH}$ , %) = 1451.74 (47)  $[M+H]^+$ . Для  $C_{44}H_{12}Br_8F_8N_4Cu$  вычислено 1451.38.

Найдено, %: С 35.88; Н 0.79; N 3.73. Для  $C_{44}H_{12}Br_8F_8N_4Cu$  рассчитано, %: С 36.41; Н 0.83; N 3.86.

Cu(II)- $\beta$ -октабром-5,10,-15,20-тетра(2,6-ди-фторфенил)порфирин ( $CuTPPBr_8F_8$ ) (66). Смесь 0.02 г (0.0144 ммоль) порфирина 3 и 0.019 г (0.144

ммоль)  $CuCl_2$  растворяли в 8 мл ДМФА, перемешивали при комнатной температуре в течение 30 мин. Обрабатывали аналогично способу а). Выход составил 0.018 г (0.0125 ммоль, 88%).

Си(II)- $\beta$ -октахлор-5,10,15,20-тетра(2,6-дифторфенил)порфирин (СиТРРСІ $_8$ F $_8$ ) (7a). К 0.02 г (0.0244 ммоль) комплекса 1 в 5 мл ДМФА добавляли 0.195 г (1.46 ммоль) NCS и выдерживали при комнатной температуре в течение 24 ч, затем добавляли 0.1 г (0.73 ммоль) NCS и выдерживали еще 24 ч. Обрабатывали аналогично комплексу 6. Выход составил 0.02 г (0.0183 ммоль, 74%). Массспектр, m/z ( $I_{\text{отн}}$ , %) = 1094.00 (97) [M + H] $^+$ . Для С $_{44}$  Н $_{12}$  С $_{18}$  F $_{8}$  N $_{4}$  Си вычислено 1095.77.

Найдено, %: C 47.72; H 1.05; N 4.93.

Для  $C_{44}H_{12}Cl_8F_8N_4Cu$  рассчитано, %: C 48.23; H 1.10; N 5.11.

Cu(II)- $\beta$ -октахлор-5,10,-15,20-тетра(2,6-ди-фторфенил)порфирин ( $CuTPPCl_8F_8$ ) (76). Смесь 0.02 г (0.0193 ммоль) порфирина 4 и 0.026 г (0.193 ммоль)  $CuCl_2$  растворяли в 8 мл ДМФА и перемешивали при комнатной температуре в течение 2 мин. Обрабатывали аналогично комплексу 6. Выход составил 0.019 г (0.0173 ммоль, 89%).

Си(II)- $\beta$ -октахлор-5,10,15,20-тетра(2,3,4,5,6-пентафторфенил)порфирин (СиТРРСІ $_8$ F $_{20}$ ) (8а). К 0.02 г (0.0193 ммоль) комплекса 2 в 5 мл ДМФА прибавляли порциями по 0.19 г (всего 0.77 г, 5.79 ммоль) NCS, выдерживали при комнатной температуре в течение 4 сут. Обрабатывали аналогично комплексу 6. Выход составил 0.017 г (0.0130 ммоль, 68%). Масс-спектр, m/z ( $I_{\text{отн}}$ , %) = = 1310.04 (96) [M] $^+$ . Для С $_{44}$ Cl $_8$ F $_{20}$ N $_4$ Cu вычислено 1311.66.

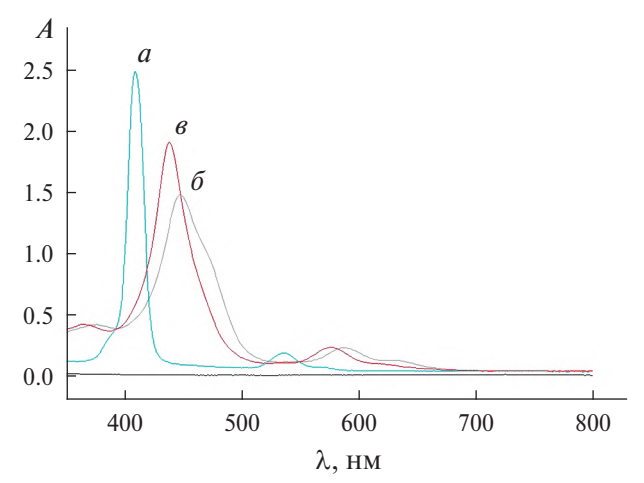
Найдено, %: C 39.84; N 4.12.

Для  $C_{44}Cl_8F_{20}N_4Cu$  рассчитано, %: С 40.29; N 4.27.

Си(II)- $\beta$ -октахлор-5,10,15,20-тетра(2,3,4,5,6-пентафторфенил)порфирин (СиТРРСІ $_8$ F $_{20}$ ) (86). Смесь 0.02 г (0.0160 ммоль) порфирина 5 и 0.022 г (0.160 ммоль) СиСІ $_2$  растворяли в 8 мл ДМФА, выдерживали при комнатной температуре в течение 2 мин. Обрабатывали аналогично комплексу 6. Выход составил 0.019 г (0.0145 ммоль, 89%).

# РЕЗУЛЬТАТЫ И ОБСУЖДЕНИЕ

Исходные комплексы меди  $CuTPPF_8$  и  $CuTPPF_{20}$  (соединения  ${\bf 1}$  и  ${\bf 2}$ ) получены при



**Рис. 1.** ЭСП в ДМФА при 25°С: a — CuTPPF<sub>8</sub> (C = 0.5 × × 10<sup>-5</sup> моль/л),  $\delta$  — CuTPPBr<sub>8</sub>F<sub>8</sub> (C = 1.6 × × 10<sup>-5</sup> моль/л),  $\epsilon$  — CuTPPCl<sub>8</sub>F<sub>8</sub> (C = 1 × 10<sup>-5</sup> моль/л).

взаимодействии 5,10,15,20-тетра(2,6-дифторфенил)порфирина и 5,10,15,20-тетра(2,3,4,5,6)-пентафторфенил)порфирина с ацетатом меди (мольное соотношение 1:10) в кипящем ДМФА. В масс-спектрах фторзамещенных комплексов меди присутствуют сигналы с m/z=820.00 и 1036.02, соответствующие молекулярным ионам полученных соединений (рис. 1, S2). На рис. 1, S2 приведено изотопное распределение молекулярных ионов соединений 1 и 1 и 1 характеристики электронных абсорбционных спектров синтезированных соединений приведены в табл. 1.

Показано, что бромирование комплекса **1** с помощью NBS (мольное соотношение 1 : 40) в ДМФА при комнатной температуре в течение 2 сут приводит к образованию Cu(II)- $\beta$ -октабром-5,10,15,20-тетра(2,6-дифторфенил)порфирина ( $CuTPPBr_8F_8$ ) (**6**) (рис. 1).

Вероятно, из-за стерических затруднений бромирование комплекса **2** (CuTPPF<sub>20</sub>) избытком NBS в ДМФА в течение 5 сут приводит к соединению с максимумами в ЭСП при 579, 543 и 415 нм.

Батохромное смещение полос по сравнению с  $CuTPPF_{20}$  в ДМФА составляет 7—9 нм, что соответствует (по данным масс-спектра) образованию смеси ди- и три-бромзамещенных комплексов меди.

Напротив, хлорирование комплекса 2 большим избытком NCS в ДМФА в течение 4 сут при комнатной температуре приводит к образованию Cu(II)- $\beta$ -октахлор-5,10,15,20-тетра(2,3,4,5,6-пентафторфенил)порфирина. При взаимодействии комплекса меди 1 с NCS (мольное соотношение 1:90) в растворе ДМФА в течение 2 сут получен Cu(II)- $\beta$ -октахлор-5,10,15,20-тетра(2,6-дифторфенил)порфирин (рис. 1).

Сравнение полученных данных по бромированию фторзамещенных комплексов меди в ДМФА с результатами, полученными ранее для Zn(II)- и Ni(II)-порфиринов [21], показало, что легче всего образуются пергалогенированные Ni(II)-порфирины (в~2 раза быстрее, чем Zn(II)-комплексы и в~15 раз быстрее, чем комплексы меди). Хлорирование *орто*-дифторзамещенных комплексов проходит быстрее, чем пентафторзамещенного. Вероятно, такой результат связан не только с электронными эффектами заместителей, но и со стерическими затруднениями, зависящими от размера введенного и вводимого галогена.

Электронные абсорбционные спектры синтезированных соединений приведены в табл. 1. Введение атомов брома и хлора в пиррольные кольца комплексов меди приводит к существенному батохромному смещению полос в ЭСП по сравнению с незамещенными комплексами. При переходе от  $\beta$ -хлор- к бромзамещенному комплексу меди смещение полос в длинноволновую область увеличивается на  $\sim 10-14$  нм.

В масс-спектрах β- и *мезо*-замещенных комплексов меди зафиксированы сигналы с

**Таблица 1.** ЭСП галогензамещенных Cu(II)-тетрафенилпорфиринов в хлороформе ( $\lambda$ , нм ( $\lg \epsilon$ )),  $C \sim 10^{-5}$  моль/л

Соединение	Q-полосы	В-полосы	
CuTPPF <sub>8</sub> (1)	570 (3.95), 535 (4.40)	410 (5.70), 390 (4.79)	
CuTPPF <sub>20</sub> ( <b>2</b> )	570 (4.09), 534 (4.35)	408 (5.56), 388 (4.70)	
$CuTPPBr_8F_8$ (6)	612 (3.79), 577 (4.06)	466 <sup>пл</sup> , 441 (4.93), 372 (4.20)	
$CuTPPCl_8F_8$ (7)	602 (4.01), 565 (4.27)	431 (5.29), 363 (4.46)	
CuTPPCl <sub>8</sub> F <sub>20</sub> ( <b>8</b> )	600 (3.97), 563 (4.12)	429 (5.21), 367 (4.33)	

m/z = 1451.74, 1094.00 и 1310.04, соответствующие молекулярным ионам полученных соединений. Изотопное распределение молекулярных ионов комплексов меди **6–8** представлено на рис. S3–S5.

Как показали исследования, галогенирование β-положений фторзамещенных комплексов меди с помощью NBS и NCS в ДМФА протекает медленнее, чем комплексов цинка [22], а конечные продукты лишь при обработке смесью серной и хлорной кислот образуют соответствующие порфирины-лиганды. Напротив, β-октабром-5,10,15,20-тетра(2,6-дифторфенил)порфирин, β-октахлор-5,10,15,20-тетра (2,3,4,5,6-пентафторфенил)порфирин легко образуются при обработке соответствующих комплексов цинка трифторуксусной или соляной кислотой.

С целью изучения координационных свойств галогензамещенных порфиринов было исследовано взаимодействие  $H_2TPPBr_8F_8$ ,  $H_2TPPCl_8F_8$  и  $H_2TPPCl_8F_{20}$  (соединения **3–5**) с солями меди в ДМФА (схема 1).

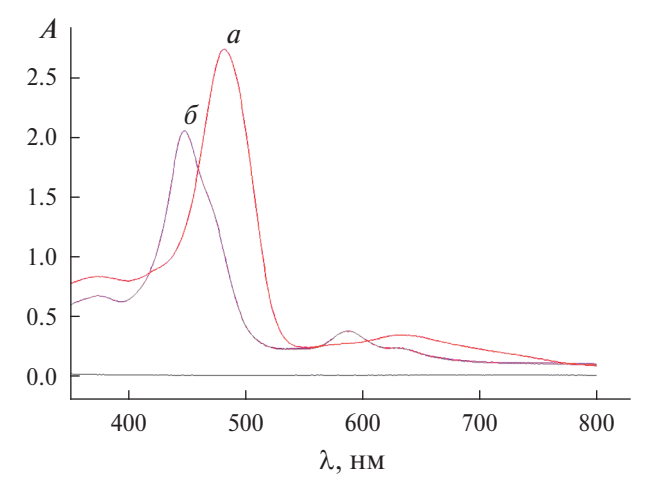
Для большинства порфиринов в работе [28] установлен бимолекулярный механизм комплексообразования. Показано, что кинетические параметры образования металлопорфиринов определяются преимущественно прочностью координационной связи M—Solv.

В общем виде уравнение реакции комплексообразования можно записать следующим образом:

$$H_2P + [MX_2(Solv)_{n-2}] \rightarrow (Solv)_mMP + 2HX + +(n-2-m)Solv,$$
 (1)

где Solv — растворитель,  $[MX_2(Solv)_{n-2}]$  — сольватокомплекс соли металла.

Экспериментальные данные показали, что реакция координации β-октабром-5,10,15,20-тетра(2,6-дифторфенил)порфирина (3) с Cu(OAc)<sub>2</sub> (мольное соотношение 1 : 10) в сильно координирующем растворителе основного характера — ДМФА — при комнатной температуре протекает очень быстро, практически при сливании растворов порфирина и соли металла. В сравнимых условиях при взаимодействии порфирина 3 с CuCl<sub>2</sub> в ДМФА CuTPPBr<sub>8</sub>F<sub>8</sub> образуется в течение 30 мин. На рис. 2 приведены ЭСП анионной формы β-бромзамещенного

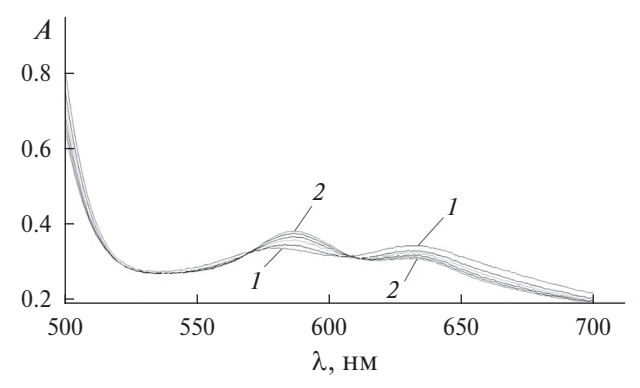


**Рис. 2.** ЭСП в ДМФА при 25°С: a — TPPBr<sub>8</sub>F<sub>8</sub><sup>2</sup>— (C =  $1.8 \times 10^{-5}$  моль/л),  $\delta$  — CuTPPBr<sub>8</sub>F<sub>8</sub> (C =  $2.3 \times 10^{-5}$  моль/л).

порфирина (TPPB $_8F_8^{2-}$ ,  $\lambda_{max}=635$ ,  $578_{пл}$ , 482 и 374 нм) и выделенного из реакционной смеси комплекса меди в ДМФА.

Аналогично при сливании растворов  $\beta$ -октахлор-5,10,15,20-тетра(2,6-дифторфенил)-порфирина и  $\beta$ -октахлор-5,10,15,20-тетра-(2,3,4,5,6-пентафторфенил)порфирина (соединения **4**, **5**) с ацетатом меди в ДМФА при комнатной температуре образуются соответствующие комплексы меди. Реакция координации порфиринов **4**, **5** с хлоридом меди в ДМФА протекает так же быстро, в течение  $\sim 1-2$  мин.

Прохождение реакции координации (1) в мягких условиях (при комнатной температуре) в среде ДМФА, вероятно, обусловлено влиянием большого числа электроноакцепторных заместителей в фенильных и пиррольных кольцах исследуемых соединений. Атомы галогенов оттягивают на себя электронную плотность макроцикла и тем самым облегчают процесс ионизации внутри циклических N-H-связей реакционного центра вплоть до образования анионной формы порфирина (TPPB $r_8F_8^{2-}$ ) (рис. 2). Напротив, при растворении в хлороформе порфирин 3 находится в молекулярной форме (симметрия  $D_{2h}$ ). В ЭСП  $H_2$ ТРРВ $r_8$  $F_8$  в хлороформе присутствуют полосы с максимумами при 715, 642, 602, 557 (О-полосы), 459 и 372 нм (В-полосы). На реакцию комплексообразования порфиринов существенное влияние оказывает и стерический фактор. Порфирины, содержащие атомы хлора в β-положениях, взаимодействуют с CuCl<sub>2</sub> в ДМФА на порядок быстрее, чем βбромзамещенный порфирин 3.



**Рис. 3.** Изменение положения Q-полос в ЭСП в ходе реакции комплексообразования  $H_2$ TPPB $_8$ F $_8$  с CuCl $_2$  в ДМФА при  $C_{H_2$ TPPB $_8$ F $_8$  =  $2.5 \times 10^{-5}$  моль/л,  $C_{\text{CuCl}_2}$  =  $2.63 \times 10^{-3}$  моль/л,  $C_{\text{CuCl}_2}$  =  $2.63 \times 10^{-3}$  моль/л,  $C_{\text{CuTPPB}}$  ( $C_{\text{UTPPB}}$ ).

Изучить кинетику комплексообразования  $H_2TPPBr_8F_8$  с  $Cu(OAc)_2$  в ДМФА при 100- и 25-кратном избытке соли не удалось. Реакция комплексообразования протекает мгновенно при сливании раствора порфирина и ацетата меди при 298 K.

Поскольку ковалентная связь Cu—Cl прочнее связи Cu—OAc и на ее разрыв требуется больше энергии [29], была изучена кинетика комплексообразования β-октабром-5,10,15,20-тетра(2,6-дифторфенил)-порфирина с хлоридом меди в ДМФА при 298—318 К (уравнение (1)).

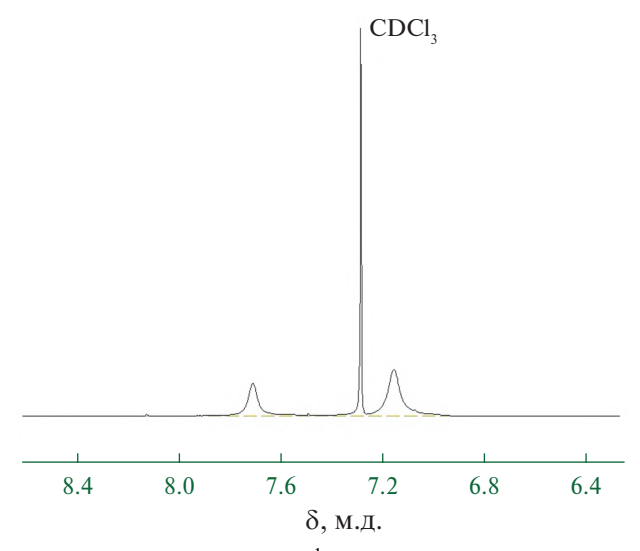
Изменение ЭСП (область 700—550 нм) в процессе реакции комплексообразования  $H_2TPPBr_8F_8$  с  $CuCl_2$  в ДМФА приведено на рис. 3. В табл. 2 представлены кинетические параметры реакции комплексообразования  $H_2TPPBr_8F_8$  с  $CuCl_2$  в ДМФА.

Как следует из табл. 2, об образовании  $CuTPPBr_8F_8$  (комплекса 6) в мягких условиях свидетельствует достаточно низкая величина энергии активации, а также большое отрицательное значение энтропии реакции.

На рис. S6 приведены рентгеновские дифрактограммы Cu(II)-5,10,15,20-тетра(2,6-дифторфенил) порфирина, Cu(II)-5,10,15,20-

тетра(2,3,4,5,6-пентафторфенил)порфирина и Cu(II)-β-октахлор-5,10,15,20-тетра(2,6-дифторфенил)порфирина. Показано, что структура орто-дифторзамещенного комплекса меди (соединение 1) приближается к кристаллической (рис. S6a). Интенсивность самого большого сигнала составляет 60000, угол рассеяния 7.2°. Увеличение числа атомов фтора в фенильных кольцах макроцикла до двадцати (соединение 2) приводит к существенной нагрузке на макроцикл. На дифрактограмме пентафторзамещенного комплекса меди интенсивность большого сигнала составляет 3600, угол рассеяния увеличивается до 15.3°, присутствуют три сигнала с интенсивностью ~2000 (рис. S66).

Введение в  $\beta$ -положения *орто*-дифторзамещенного комплекса меди большого числа атомов хлора приводит к уменьшению интенсивности сигнала до 3500 без изменения угла рассеяния по сравнению с исходным комплексом 1. На дифрактограмме CuTPPCl<sub>8</sub>F<sub>8</sub> (соединение 7) (рис. S6в) наблюдаем появление сигналов со значениями  $\sim$ 1000 и 500, которые отсутствуют на дифрактограмме исходного комплекса 1.



**Рис. 4.** Спектр ЯМР <sup>1</sup>H CuTPPF<sub>8</sub> в CDCl<sub>3</sub>.

**Таблица 2.** Кинетические параметры реакции комплексообразования  $H_2$ TPPB $r_8$  $F_8$  (3) с CuCl<sub>2</sub> в ДМФА ( $C_{H_2$ ТРРВ $r_8$  $F_8} = 2.5 \times 10^{-5}$  моль/л)

$C_{\mathrm{CuCl}_2} \times 10^3$ , моль/л	T, K	$k_{9\Phi} \times 10^4,  \mathrm{c}^{-1}$	$E_a$ , кДж/моль	$\Delta S^{\neq}$ , Дж/(моль K)
0.63	298	$3.39 \pm 0.16$	$53 \pm 6$	$-143 \pm 19$
	308	$7.28 \pm 0.34$		
	318	$19.97 \pm 0.57$		

Для дифторзамещенного комплекса меди 1 удалось записать спектр  $\mathrm{SMP}^{1}\mathrm{H}$  в  $\mathrm{CDCl}_{3}$  (рис. 4). В спектре  $\mathrm{SMP}^{-1}\mathrm{H}$  соединения 1 присутствуют два типа уширенных сигналов при 7.71 м.д. (пиррольных колец) и 7.16 м.д. (мета- и парапротонов фенильных колец).

# ЗАКЛЮЧЕНИЕ

Синтезированы Cu(II)-β-октабром-5,10,15,20тетра(2,6-дифторфенил)порфирин, Cu(II)-β-октахлор-5,10,15,20-тетра(2,6-дифторфенил)порфирин и Cu(II)- $\beta$ -октахлор-5,10,15,20-тетра-(2,3,4,5,6-пентафторфенил)порфирин по реакциям галогенирования и комплексообразования. Показано, что реакции галогенирования Cu(II)-тетра(2,6-дифторфенил)порфирина Cu(II)-тетра(2,3,4,5,6-пентафторфенил)порфирина с использованием избытка NBS и NCS в ДМФА протекают при комнатной температуре в течение длительного времени (2–4 сут). При взаимодействии β-октабром-5,10,15,20-тетра(2,6-дифторфенил)порфирина, β-октахлор-**5**,10,15,20-тетра(2,6-дифторфенил)порфирина β-октахлор-5,10,15,20-тетра(2,3,4,5,6-пентафторфенил)порфирина с солями меди в ДМФА легко образуются соответствующие Cu(II)порфирины, причем комплексообразование исследуемых соединений с ацетатом меди при комнатной температуре протекает при сливании свежеприготовленных растворов порфиринов и Си(ОАс) в ДМФА в сравнимых условиях, время реакции с CuCl<sub>2</sub> составляет от 2 до 30 мин.

Однако следует отметить преимущества прямого галогенирования комплексов меди по сравнению с комплексообразованием β-замещенных порфиринов: сокращение числа стадий синтеза в 2 раза, выход конечных продуктов составляет ~70—74%. Изучение реакции комплексообразования порфиринов-лигандов с солями меди в ДМФА представляет интерес в плане изучения влияния большого числа электроноакцепторных заместителей на координационные свойства исследуемых соединений.

Изучена реакция координации  $\beta$ -октабром-5,10,15,20-тетра(2,6-дифторфенил)порфирина с  $CuCl_2$  в диметилформамиде при 298-318 К. Рассчитаны кинетические параметры реакции.

Синтезированные соединения охарактеризованы методами электронной абсорбционной, <sup>1</sup>Н ЯМР-спектроскопии, масс-спектрометрии и

элементного анализа. Для ряда комплексов меди получены рентгеновские дифрактограммы.

#### ФИНАНСИРОВАНИЕ РАБОТЫ

Работа поддержана Министерством науки и высшего образования Российской Федерации в рамках государственного задания Института химии растворов им. Г.А. Крестова РАН (№ 122040500043-7) и выполнена на оборудовании центра коллективного пользования "Верхневолжский региональный центр физикохимических исследований".

# КОНФЛИКТ ИНТЕРЕСОВ

Авторы заявляют об отсутствии конфликта интересов.

# ДОПОЛНИТЕЛЬНАЯ ИНФОРМАЦИЯ

Онлайн-версия содержит дополнительные материалы, доступные по адресу: https://doi.org/10.31857/S0044457X24110064

#### СПИСОК ЛИТЕРАТУРЫ

- Chen L., Zhanga Z., Wang Y. et al. // J. Mol. Catal. 2013. V. 372. P. 114. https://doi.org/10.1016/j.molcata.2013.02.013
- 2. *Bajju G.D.*, *Singh N.*, *Deepmala G.* // Chem. Sci. Trans. 2014. V. 3. № 1. P. 314. https://doi.10.7598/cst2014.583
- 3. *Katoh K., Yoshida Y., Yamashita M. et al.* // J. Am. Chem. Soc. 2009. V. 131. № 29. P. 9967. https://doi.org/10.1021/ja902349t
- 4. *Goslinski T., Tykarska E., Kryjewski M. et al.* // Anal. Sci. 2011. V. 27. № 5. P. 511. https://doi.org/10.2116/analsci.27.511
- 5. *Сарафанова Л.А*. Пищевые добавки. Энциклопедия. СПб.: ГИОРД, 2004. 808 с.
- 6. *Белых Д.В., Козлов А.С., Пылина Я.И. и др.* // Макрогетероциклы. 2019. Т. 12. № 1. С. 68. https://doi.org/10.6060/mhc190128b
- Мичико М., Слаткин Д.Н. Новые металлопорфирины и их применение в качестве радиосенсибилизаторов в лучевой терапии. Пат. RU 2003 138 076.
- 8. *Saka E.T., Caglar Y.* // Catal. Lett. 2017. V. 147. P. 1471. https://doi.org/10.1007/s10562-017-2054-0
- 9. *Yadav K.K.*, *Narang U.*, *Sahu P.K. et al.* // J. Iran. Chem. Soc. 2022. V. 19. P. 4359. https://doi.org/10.1007/s13738-022-02609-5
- 10. *Uranga J., Matxain J.M., Lopez X. et al.* // Phys. Chem. Chem. Phys. 2017. V. 19. № 31. P. 20533. https://doi.org/10.1039/C7CP03319B

- 11. Аскаров К.А., Березин Б.Д., Быстрицкая Е.В. Порфирины: спектроскопия, электрохимия, применение. М.: Наука, 1987. 384 с.
- 12. *Bhyrappa P., Krishnan V.J.* // Inorg. Chem. 1991. V. 30. № 2. P. 239. https://doi.org/10.1021/ic00002a018
- 13. *Чижова Н.В., Шинкаренко А.В., Завьялов А.В. и др.* // Журн. неорган. химии. 2018. Т. 63. № 6. С. 732.
- 14. *Hariprasad G., Dahal S., Maiya B.G.* // J. Chem. Soc., Dalton Trans. 1996. V. 16. P. 3429.
- 15. Krishna V., Agarwal D.D., Bayrappa G. et al. // Indian J. Chem., Sect. A. 1998. V. 37. P. 918.
- 16. *Румянцева В.Д., Аксенова Е.А., Пономарева О.Н. и др.* // Биоорг. химия. 2000. Т. 26. № 6. С. 471.
- 17. *Мамардашвили Н.Ж., Иванова Ю.Б., Чижова Н.В.* // Макрогетероциклы. 2019. Т. 12. № 1. С. 22.
  - https://doi.org/10.6060/mhc180900m
- 18. Spyroulias G.A., Despotopoulos A.P., Raptopoulou C.P. et al. // Inorg. Chem. 2002. V. 41. № 10. P. 2648. https://doi.org/10.1021/ic000738h
- 19. *Chorghade M.S., Dolphin D., Dupre D. et al.* // Chemistry Syhthesis. 1996. V. 11. P. 1320. https://doi.org/10.1055/s-1996-4401
- 20. *Иванова Ю.Б., Чижова Н.В., Хрушкова Ю.В. и др.* // Журн. общ. химии. 2019. Т. 89. № 3. С. 434. https://doi.org/10.1134/S0044460X19030156

- 21. Чижова Н.В., Дмитриева О.В., Мамардашвили Н.Ж. // Журн. неорган. химии. 2022. Т. 67. С. 286.
  - https://doi.org/10.1134/S0036023622030056
- Dmitrieva O.A., Chizhova N.V., Mamardashvili N.Zh. // Inorg. Chem. Acta. 2021. V. 528.
   P. 120620. https://doi.org/10.1016/j.ica.2021.120620
- 23. *Klapshina L.G., Douglas W.E., Grigoryev I.S. et al.* // J. Mater. Chem. 2009. V. 19. № 22. P. 3668. https://doi.org/10.1039/B821667C
- 24. *Lermontova S.A., Grigoryev I.S., Shilyagina N.Y. et al.* // Russ. J. Phys. Chem. 2016. V. 86. P. 1330. https://doi.org/10.1134/S1070363216060189
- Stuzhin P.A., Goryachev M.Y., Ivanova S.S. et al. // J. Porphyrins Phthalocyanines. 2013. V. 17. P. 905. https://doi.org/10.1142/S1088424613500892
- 26. *Chumakov D.E., Khoroshutin A.V., Anisimov A.V. et al.* // Chem. Heterocycl. Compd. 2009. V. 45. P. 259. https://doi.org/10.1007/s10593-009-0277-8
- 27. *Мальцева О.В.*, *Звездина С.В.*, *Чижова Н.В. и др.* // Журн. общ. химии. 2015. Т. 86. № 1. С. 110.
- 28. Березин Б.Д. Координационные соединения порфиринов и фталоцианина. М.: Наука, 1978. 280 с.
- 29. *Березин Б.Д., Голубчиков О.А.* Координационная химия сольватокомплексов солей переходных металлов. М.: Наука, 1992. 234 с.

# SYNTHESIS AND SPECTRAL PROPERTIES OF HALOGEN SUBSTITUTED Cu(II)-TETRAPHENYLPORPHYRINS

S. V. Zvezdina<sup>a</sup>, N. V. Chizhova<sup>a</sup>, N. Zh. Mamardashvili<sup>a</sup>, \*

<sup>a</sup> Krestov Institute of Solutions Chemistry of the Russian Academy of Sciences, Ivanovo, 153040 Russia \*e-mail: zvezdina75@mail.ru

The exhaustive halogenation of the  $\beta$ -positions of Cu(II)-5,10,15,20-tetra-(2,6-difluorophenyl)porphyrin using N-bromosuccinimide and N-chlorosuccinimide in dimethylformamide was carried out. Cu(II)- $\beta$ -octachloro-(2,3,4,5,6-pentafluorophenyl)porphyrin was synthesised by the interaction of Cu(II)-5,10,15,20-tetra-(2,3,4,5,6-pentafluorophenyl)porphyrin with N-chlorosuccinimide in dimethylformamide. Using the complexation reaction of  $\beta$ -octabromo-5,10,15,20-tetra-(2,6-difluorophenyl)porphyrin,  $\beta$ -octachloro-5,10,15,20-tetra-(2,6-difluorophenyl)porphyrin with copper salts in dimethylformamide under mild conditions, the corresponding copper(II) complexes were obtained. The coordination reaction kinetics of  $\beta$ -octabromo-5,10,15,20-tetra-(2,6-difluorophenyl-porphyrin with copper chloride in dimethylformamide has been studied. The kinetic parameters of the reaction have been calculated. The obtained compounds were identified by UV-Vis,  $^1$ H NMR spectroscopy, mass spectrometry, elemental analysis methods. X-ray diffractograms were obtained for a number of copper complexes.

*Keywords:* bromination, chlorination, complexation reactions,  $\beta$ - and meso-halogen substituted porphyrins and their complexes with Cu(II), spectral characteristics